

بررسی تاثیر نانومولسیون انسانس ترخون بر بیان ژن‌های حدت اشرشیاکلی انتروهموراژیک

مریم عزیزخانی^{۱*}، فهیمه توریان^۲، پولین شهره^۳، راضیه پرتوی^۲، محمدحسن شاهوی^۴

۱- دکترای تخصصی، دانشیار، گروه بهداشت مواد غذایی، دانشکده دامپزشکی، دانشگاه تخصصی فن آوری‌های نوین آمل، آمل، ایران.

۲- دکترای تخصصی، استادیار، گروه بهداشت مواد غذایی، دانشکده دامپزشکی، دانشگاه تخصصی فن آوری‌های نوین آمل، آمل، ایران.

۳- دکترای تخصصی، استادیار، گروه علوم درمانگاهی، دانشکده دامپزشکی، دانشگاه تخصصی فن آوری‌های نوین آمل، آمل، ایران.

۴- دکترای تخصصی، استادیار، گروه مهندسی، دانشکده فناوری‌های نوین مهندسی، دانشگاه تخصصی فن آوری‌های نوین آمل، آمل، ایران.

(تاریخ دریافت: ۹۹/۰۲/۱۰ تاریخ پذیرش: ۹۹/۰۴/۲۸)

چکیده

O157:H7 اشرشیاکلی از مهمنترین و شایع‌ترین پاتوژن‌های غذایی در سراسر دنیاست که در حال کسب مقاومت در برابر برخی ترکیبات ضدمیکروبی سنتزی رایج می‌باشد. هدف از این پژوهش تعیین حداقل غلظت مهارکنندگی (MIC) و حداقل غلظت باکتریکشی (MBC) نانومولسیون انسانس ترخون (*Artemisia dracunculus*) برای سویه انتروهموراژیک اشرشیاکلی و سپس تاثیر غلظت‌های تحت MIC آن بر نرخ رشد و بیان ژن‌های حدت (*stx2*) و *stx1A* بود. نانومولسیون انسانس ترخون به روش فرآصوت تهیه و اندازه قطرات و پتانسیل زتا آن تعیین شد. MIC و MBC آنس و نانومولسیون با استفاده از روش میکرودایلوشن براث تعیین شد. میزان رشد و بیان ژن‌های *stx2A* و *stx1A* در اشرشیاکلی پس از تیمار با غلظت‌های مختلف تحت MIC بررسی شد. استراگول به عنوان اصلی ترین ماده تشکیل دهنده انسانس‌شناصایی شد. قطر ذرات نانومولسیون به طور متوسط ۵۰ نانومتر و پتانسیل زتا -۳۰ میلی ولت بود. مقادیر MIC انس و نانومولسیون، به ترتیب، $0/08 \pm 0/07$ و $0/058 \pm 0/07$ میلی گرم در میلی لیتر و MBC معادل، به ترتیب، $0/020 \pm 0/015$ و $0/065 \pm 0/028$ میلی گرم در میلی لیتر به دست آمد. نانومولسیون نسبت به انس خالص دارای اثر مهارکنندگی بیشتری در برابر رشد باکتری بود. در پایان دوره ۷۲ ساعته، تیمار با نانومولسیون در غلظت ۷۵ درصد MIC منجر به کاهش نسخه برداری از *stx2A* و *stx1A* به ترتیب $2/02 \pm 0/02$ و $4/10 \pm 0/04$ برابر گردید در حالی که در غلظت ۷۵ درصد *stx1* میزان نسخه برداری از *stx2* میلی گرم در میلی لیتر با مقایسه با شاهد به ترتیب $1/91 \pm 0/02$ و $0/075 \pm 0/005$ برابر کاهش یافت. بیشتر بودن فعالیت مهارکنندگی نانومولسیون انسانس ترخون در مقایسه با انس خالص در برابر رشد و تولید شیگاتوکسین اشرشیاکلی پتانسیل آن را برای کاربرد به عنوان نگهدارنده خوارکی طبیعی و نیزراه حلی جهت مشکل جهانی ظهور میکرب‌های مقاوم به آنتی‌بیوتیک نشان می‌دهد.

کلیدواژگان: انسانس، اشرشیاکلی، انتروهموراژیک، ترخون، شیگاتوکسین، نانومولسیون

* مسئول مکاتبات: m.azizkhani@ausmt.ac.ir

دلیل ویژگی چربی دوستی و نفوذ به داخل غشای دواله فسفولیپیدی میکروارگانیسم‌ها، موجب افزایش نفوذپذیری و از دست دادن تمامیت غشاء، آسیب به سیستم‌های آنزیمی و یا تخریب ماده ژنتیکی میکروارگانیسم دارای فعالیت ضد میکروبی می‌باشدند [۴،۵]. گیاه ترخون با نام علمی *Artemisia dracunculus* L. از گذشته به عنوان ادویه و طعم دهنده مواد غذایی مورد استفاده بوده است. مهم‌ترین مناطق رویش این گیاه در ایران، سیستان و بلوچستان، آذربایجان، اصفهان، خوزستان، فارس، کرمان و خراسان است. عمدۀ ترکیبات ترخون شامل استراگول، بتا و سیس اوسمین می‌باشد و گزارش شده است که عصاره و انسانس آن دارای فعالیت آنتی‌اکسیدانی و خاصیت ضد باکتریایی در مقابل سودوموناس آتروجینوزا، اشرشیاکلی انتروپاتوژنیک، سالمونلا تیفی موریوم و استافیلوکوکوس اورئوس می‌باشدند [۶،۷].

مطالعات متعددی نشان داده‌اند که تیمار مواد غذایی با ترکیبات ضد میکروبی طبیعی می‌تواند موجب کاهش تاثیر فاکتورهای تهاجمی باکتری‌ها مانند چسبندگی، آبگریزی سطح سلول، تشکیل بیوفیلم و افزایش حساسیت به استرس اکسیداتیو و نیز وضعیت حرکت میکروارگانیسم‌ها گردد [۷]. کاربرد انسانس‌های گیاهی در غلظت‌های بالا باعث تغییر در ویژگی‌های حسی از جمله عطر و طعم فرآورده می‌گردد که ممکن است کاربرد بسیاری از انسانس‌ها، حتی با عملکرد ضد میکروبی قوی، را محدود سازد. همچنین، علیرغم فعالیت ضد میکروبی قبل توجه انسانس‌های گیاهی مشکلاتی از قبیل فراریت زیاد ترکیبات تشکیل دهنده و حلالیت پایین در آب باعث محدودیت کاربرد آنها در مواد غذایی گردیده است. به منظور محافظت از ترکیبات زیست فعال آبگریز در برابر شرایط نامساعد محیطی و افزایش حلالیت و ثبات آنها در سیستم‌های غذایی از روش‌های مختلف ریزپوشانی از جمله میکروریزپوشانی، نانوریزپوشانی، تهیه میکروامولسیون و نانومولسیون استفاده می‌شود. نانومولسیون‌ها به دلیل اندازه کوچک قطرات، شفاف یا نیمه شفاف بوده و از مقاومت ترمودینامیکی بالایی در برابر ترسیب و تجمع برخوردارند [۸]. لذا، در این مطالعه جهت افزایش انحلال انسانس ترخون و فعالیت ضد میکروبی آن، نانومولسیون انسانس تهیه و تاثیر آن بر نرخ رشد و میزان بیان ژن‌های تهاجمی مسؤول تولید شیگاتوکسین در

۱- مقدمه

بیماری‌های انتقال یافته از مواد غذایی تحت عنوان عفونت یا مسمومیت‌هایی تعریف می‌شوند که از طریق مصرف مواد غذایی الوده به میکروارگانیسم‌های بیماریزا یا توکسین آنها ایجاد می‌گردد [۱]. اشرشیاکلی باکتری گرم منفی و میله‌ای شکل می‌باشد که معمولاً به صورت منفرد و یا یاخته شده و توسط فلاژل پری‌تریش حرکت می‌کند، این باکتری بی‌هوای اختیاری بوده و دمای بهینه رشد آن 37°C است. براساس فاکتورهای بیماریزا و نیز نوع بیماری که اشرشیاکلی بوجود می‌آورد به ۵ زیر گروه مختلف تقسیم می‌شود که شامل اشرشیاکلی انتروپاتوژنیک (EPEC)، اشرشیاکلی انترواگرگینیک (EIEC)، اشرشیاکلی حمله کننده به روده (ETEC) و اشرشیاکلی مولد خونریزی روده‌ای (EHEC) می‌باشد. هر کدام از گروه‌های فوق از طریق مواد غذایی مختلفی در ایجاد عفونت نقش دارند، همه گونه‌های EHEC شیگاتوکسین تولید می‌کنند که شیشه توکسین تولید شده توسط شیگلا دیسانتری تیپ ۱ بوده و توانایی تخریب رده‌های سلولی و رو (Vero) در شرایط آزمایشگاهی را دارد. اشرشیاکلی O157:H7 از اعضای گروه اشرشیاکلی EHEC می‌باشد [۲]. اشرشیاکلی تولید کننده شیگاتوکسین از پاتوژن‌های انتقال یافته‌از آب و مواد غذایی و عامل طیف گسترده‌ای از بیماری‌های انسانی، از اسهال خفیف تا کولیت خونریزی دهنده، ترموبوستیوپنی و سندرم اورمیک همولیتیک محسوب می‌گردد. سروتیپ O157:H7 اشرشیاکلی منبع اصلی شیوع مسمومیت ناشی از مواد غذایی در سراسر جهان می‌باشد [۳].

استفاده از آنتی‌بیوتیک‌ها و نگهدارنده‌های شیمیایی علاوه بر غیر اینم بودن و ایجاد عوارضی مانند حساسیت‌زایی در افراد مصرف کننده، موجب ظهور پاتوژن‌های مقاوم به آنتی‌بیوتیک گردیده است [۱،۳]. بسیاری از انسانس‌ها و عصاره‌های گیاهی از لحاظ خوراکی‌بی خطر¹ شناخته شده‌اند و واجد قابلیت کاربرد در مواد غذایی جهت جلوگیری از رشد باکتری‌های بیماریزا یا عامل فسادی باشند [۴]. ترکیبات موجود در انسانس‌ها و عصاره‌ها به

1. Generally Recognized as Safe

۲-۴- تهیه نانومولسیون

تهیه نانومولسیون مطابق روش Shahavi و همکاران (۲۰۱۶) انجام شد[۱۰]. نانومولسیون روغن در آبسانس ترخون در دمای محیط با استفاده از دستگاه فراصوت (۴۰۰۰وات، ۲۴ کیلوهترز، مدل UP400S، شرکت Hielscher، آلمان) از طریق مخلوط کردن ۱۰ درصد وزنی اسانس ترخون، ۸۵ درصد وزنی آب و ۵ درصد از مخلوط سورفاکtant ها Tween® 80 / Span® 80 تشکیل شد. نانومولسیون اسانس ترخون، با زمان فراصوت دهی ۳۰۰ ثانیه، چرخه فراصوت ۰/۷۵ درصد و شدت فراصوت ۲۰۸ وات بر سانتی متر مربع توسط دستگاه فراصوت تهیه گردید.

۲-۵- اندازه‌گیری اندازه قطرات نانومولسیون

روش تفرق دینامیکی نور (Dynamic light scattering) با استفاده از دستگاه نانو زتابایزر Series Nano (model ZEN 3600، Malvern, UK) با زاویه ثابت پراکنش ۱۷۳ درجه، انديس رفراكتيو ۱۴۵ و انديس ديسپرسيون ۱۳۳، ويسيکوزيته ۰/۸۷۲ سانتي پوازو ليزر He-Ne (۴ نانووات) در دمای ۲۵ درجه سانتيگراد برای اندازه‌گيری قطر ذرات نانومولسیون به کار رفت. متوجه اندازه ذرات بر اساس ميانگين قطر محاسبه و كليه نمونه ها در سه تكرار آزمون شدند. نرم افزار مورد استفاده برای جمع آوري و آناليز داده ها Zetasizer Software (version 7.03) بود.

پتانسل زتا با استفاده از سل موئین مدل DTS1070 (Malvern Instruments, Worcestershire, UK) و دستگاه نانو زتابایزر Series Nano ZS) model ZEN 3600، Malvern, UK در دمای ۲۵ درجه سانتيگراد تعیین شد. كليه نمونه ها در آب فوق خالص پراکنده شده (۰/۰۱ درصد حجمي-حجمي) و هر نمونه ۱۰ بار در ۲۵ درجه سانتيگراد بررسی شد.

۲-۶- سويه باكتريائي

سلول های اشرشياكلی (ATCC 35218) O157: H7 واجد پتانسل توليد توکسین های Stx1A و Stx2A از گروه ميكروبيولوژي، دانشگاه دامپزشكی - دانشگاه تهران، تهیه شد.

باکتری اشرشياكلی O157:H7 در محیط براث مورد بررسی قرار می‌گیرد.

۲- مواد و روش ها

۲-۱- تهیه و آماده سازی گیاه ترخون

گیاه ترخون، از مزارع اطراف شهر اصفهان جمع آوری شده و سپس برگ های آن از ساقه ها جدا گردید. نمونه ها برای رسیدن به وزن ثابت، در آون تحت خلاه در دمای ۴ درجه سانتيگراد خشک شدند. نمونه های خشک شده توسط آسياب به پودر تبدیل و در نهايیت به منظور جلوگيري از نفوذ رطوبت، در بسته های نايلونی بسته بندی و تا زمان شروع آزمایش در يخچال (با دمای ۶ درجه سانتيگراد) نگهداری شدند.

۲-۲- استخراج اسانس

استخراج اسانس ترخون با استفاده از دستگاه کلونجر به روش تقطیر با آب به مدت ۲ ساعت انجام شد.

۲-۳- تعیین تركیبات اسانس

تركیبات تشکیل دهنده اسانس به روش کروماتوگرافی و با استفاده از دستگاه کروماتوگرافی گازی مجهز به طیف نگار جرمی تعیین واندازه گيری گردید. ابتدا نمونه آماده شده اسانس به دستگاه کروماتوگرافی گازی تزریق شد و مناسب ترین برنامه ریزی دمایی ستون برای جداسازی كامل تركیبات اسانس بدست آورده شد. سپس اسانس به دستگاه گاز کروماتوگرافی متصل به طیف نگار جرمی نیز تزریق شده، طیف جرمی تركیبات بدست آمد و با استفاده از شاخص بازداری، بررسی طیف های جرمی و مقایسه آن ها با طیف های مرجع، شناسایی هر يك از اجزای اسانس انجام شد[۹]. در اين مطالعه دستگاه GC-MS از نوع Agilent 6890 با ستون موبينه به طول ۳۰ متر، قطر داخلی ۰/۲۵ ميلی متر و ضخامت لایه داخلی ۰/۲۵ ميكرومتر از نوع HP-5MS با برنامه دمایی ستون در ابتدا با دمای ۷۰ درجه سانتيگراد با توقف ۲ دقیقه در اين دما، سپس افزایش دما تا ۲۲۰ درجه سانتيگراد با سرعت ۱۵ درجه سانتيگراد در هر دقیقه، و افزایش دمای ستون تا ۳۰۰ درجه سانتيگراد به مدت ۲ دقیقه استفاده شد.

بакتری اشرشیاکلی در محیط TSB حاوی مقادیر تحت MIC اسانس و نانوامولسیون در دمای ۳۵-۳۷ درجه سانتیگراد به مدت ۷۲ ساعت کشت داده شد. RNA باکتری در هر تیمار با استفاده از Kit CinnaPure RNA Purification (شرکت سیناژن، تهران، ایران) طبق دستورالعمل شرکت سازنده، در فواصل ۲۴، ۴۸ و ۷۲ ساعت گرمخانه‌گذاری در دمای ۳۵ درجه سانتیگراد، استخراج شد. سپس، cDNA با استفاده از RNA استخراج شده Sinacolon First Strand cDNA و کیت Synthesis (شرکت سیناکلون، تهران، ایران) مطابق دستورالعمل سازنده سنتز گردید. واکنش RT-Real time PCR با استفاده Power SYBR Green (Applied Biosystems) و با بکار گیری سیستم تشخیص توالی ABI PRISM 7500 (Applied Biosystems) Courtaboeuf انجام شد (فرانسه). جدول ۱ جفت‌های پرایمری مورد استفاده در واکنش را نشان می‌دهد [۱۲، ۱۳]. شرایط چرخه حرارتی به شرح زیر تنظیم شد: یک چرخه در دمای ۹۵ درجه سانتیگراد به مدت ۱۰ دقیقه، ۴۰ چرخه در دمای ۹۵ درجه سانتیگراد به مدت ۱۵ ثانیه و یک چرخه در دمای ۶۰ درجه سانتیگراد به مدت ۱ دقیقه. سطوح mRNA ژن‌های هدف *Stx2A* و *Stx1A* در مقابله سطح گلیسیرآلدئید-۳-فسفات دهیدروژناز (GAPDH) به عنوان ژن مرجع نرمال‌ایز گردید و مقادیر نرمال شده به منظور محاسبه نسبت سطح بیان ژن‌ها در نمونه‌های تیمار شده با اسانس یا نانوامولسیون به سطح بیان در نمونه‌های کنترل (تیمار نشده) به کار رفت. جهت انجام محاسبات از روش $\Delta\Delta CT$ - $\Delta\Delta CT$ ۲-۲ مطابق Applied Biosystems بولتن کاربری شماره ۲۱۶ شرکت استفاده شد [۱۴]. از آنجا که سیستم سایبرگرین هر DNA دو رشته‌ای از جمله DNA یگانه، پرایمر دایمراه، و محصولات PCR حاصل از اتصال اشتباه پرایمرها به یکدیگر را جستجو می‌کند، منحنی ذوب محصولات پس از پایان PCR تهیه شد.

۷-۲- تعیین حداقل غلظت بازدارنده رشد (MIC) و حداقل غلظت باکتری کشی (MBC) اسانس خالص و نانوامولسیون

مقدار MIC اسانس و نانوامولسیون به روش میکرودایلوشن در محیط براث تعیین گردید. محیط کشت تریپتیک سوی براث (TSB) با ۵ درصد حجمی-حجمی دی متیل سولفوکسید (DMSO) به عنوان ماده امولسیون کننده و غلظت‌های مختلف اسانس و نانوامولسیون مخلوط شد. سطح تلقیح باکتریایی در هر چاهک ۸ لگاریتم واحد تشکیل دهنده کلی در میلی لیتر بود. میکروپلیت‌های تلقیح شده در دمای ۳۵-۳۷ درجه سانتیگراد به مدت ۱۸ ساعت گرمخانه گذاری شدند. کمترین غلظتی از اسانس یا نانوامولسیون که در آن هیچ رشدی مشاهده نشد به عنوان MIC در نظر گرفته شد. جهت تعیین MBC میکرولیتر از هر چاهک‌گفاقت رشد باکتریاییدر پلیت حاوی تریپتیک سوی آگار (TSA) کشت سطحی داده شد و در دمای ۳۵-۳۷ درجه سانتیگراد به مدت ۲۴ ساعت گرمخانه گذاری گردید [۱۱].

۸-۲- تعیین تاثیر بازدارنده‌گی اسانس و نانوامولسیون بر نرخ رشد اشرشیاکلی

اسانس و نانوامولسیون در غلظت‌های تحت بازدارنده ۵۰ و ۷۵ درصد) به محیط کشت TSB حاوی ۵ درصد حجمی-حجمی DMSO اضافه شدند، سپس لوله‌ها با حاود ۸ لگاریتم واحد تشکیل دهنده کلی در میلی لیتر باکتری تلقیح و در دمای ۳۵-۳۷ درجه سانتیگراد به مدت ۲۴، ۴۸ و ۷۲ ساعت نگهداری شدند. شمارش کلی با تهیه رقت‌های متوالی از محیط‌های ذکر شده در بالا کشتروی محیط TSA انجام شد [۱۱].

۹-۲- تعیین تاثیر بازدارنده‌گی اسانس و نانوامولسیون بر بیان ژن‌های *Stx2A* و *Stx1A* در اشرشیاکلی

Table1 Primers used in real-time PCR

| Target gene | Size (base pair) | Sequence (5'-3') |
|--|------------------|--|
| Glyceraldehyde 3-phosphate dehydrogenase (GAPDH) | 299 | Fw: TCCGTGCTGCTCAGAACG Rev: CACTTCTCGCACCGCG |
| Shiga toxin 1 Subunit A (<i>stx1A</i>) | 296 | Fw: CCATTCTGGCAACTCGCG Rev: GCAAGAGCGATGTTACGGT |
| Shiga toxin 2 Subunit A (<i>stx2A</i>) | 184 | Fw: TGCTGTGGATATACGAGGGC Rev: TCCGTTGTCATGGAAACCG |

۳- یافته‌ها

۱-۳- ترکیبات تشکیل دهنده اسانس ترخون

در بین ترکیبات موجود در اسانس ترخون استراگول (۵۱/۵۱) درصد، پارا-سیمین (۱۳/۷۸ درصد)، گاما ترپین (۹/۰۲ درصد)، آلفا پین (۷/۴۲) و او ۸ سیتول (۳/۳۵ درصد) بیشترین درصد ترکیبات را تشکیل می‌دادند. ۱۸ ترکیب شناسایی شده (جدول ۲) در مجموع ۹۷/۴۴ درصد کل ترکیبات تشکیل دهنده اسانس را شامل شدند.

۱۰-۲- آنالیز آماری نتایج حاصله

تمام آزمون‌ها (اندازه گیری قطر ذرات، تعیین MIC و MBC نرخ رشد و PCR) در سه تکرار انجام شد و داده‌ها با به کار گیری نرم افزار SPSS 22.0 با استفاده از آزمون آنالیز واریانسلوطرفه مورد تجزیه و تحلیل آماری قرار گرفتند. داده‌ها به صورت میانگین±انحراف معیار گزارش شدند. اختلاف معنی‌داری در سطح ۹۵ درصد تعیین گردید.

Table 2 Chemical composition of *Artemisia dracunculus* L. essential oil identified by GC/MS

| Compounds | Retention Time (min) | Amount (%) |
|----------------------|----------------------|------------|
| Alpha-thujene | 4.38 | 0.65 |
| Alpha-pinene | 4.52 | 7.42 |
| Camphepane | 4.78 | 0.95 |
| Beta-myrcene | 5.44 | 0.75 |
| Alpha-terpinene | 5.92 | 1.87 |
| Para-cymene | 6.08 | 13.78 |
| Beta- phellandrene | 6.15 | 1.05 |
| 1,8-cineole | 6.19 | 3.35 |
| Gamma-terpinene | 6.67 | 9.03 |
| Camphor | 8.14 | 0.58 |
| Cyclohexane | 8.72 | 1.58 |
| Isobornyl propionate | 9.11 | 0.93 |
| Carvacrol | 11.06 | 1.41 |
| Estragole | 11.16 | 51.1 |
| Trans-caryophyllene | 13.60 | 1.93 |
| Germacrene D | 14.88 | 0.29 |
| Delta-cadinene | 15.79 | 0.38 |
| Cis-alpha-bisabolene | 16.17 | 39 |
| Total | | 97.44 |

در این مطالعه، متوسط اندازه (قطر) قطرات نانومولسیون اسانس ترخون معادل ۵۰ نانومتر و پتانسیل زتا برابر با -۳۰ میلی ولت بود.

۲-۳- اندازه قطرات نانومولسیون و پتانسیل زتا

و نانوامولسیون کمتر از شاهد (تیمار نشده) بود ($p < 0.05$). پس از نگهداری باکتری به مدت ۲۴، ۴۸ و ۷۲ ساعت در دمای گرماخانه گذاری، غلظت ۷۵ درصد MIC اسانس ترخون (شکل ۱a) موجب کاهش جمعیت نهایی باکتری به میزان ۱/۴۰، ۳/۰۶ و ۴/۴۳ لگاریتم واحد تشکیل دهنده کلنی در میلی لیتر در مقایسه با تیمار شاهد شده است ($p < 0.05$). در حالی که غلظت ۷۵ درصد MIC نانوامولسیون (شکل ۱b)، تعداد سلولهای اشرشیاکلی را به میزان ۲/۵۴، ۳/۵۶ و ۵/۹۰ لگاریتم واحد تشکیل دهنده کلنی در میلی لیتر در مقایسه با کنترل طی مدت زمان مشابه کاهش داد ($p < 0.05$). کاهش سرعت رشد در مقایسه با شاهد برای اسانس و نانوامولسیون از نظر آماری معنی دار بود ($p < 0.05$) و نانوامولسیون اثر مهار بیشتری در برابر رشد اشرشیاکلی در مقایسه با اسانس خالص نشان داد ($p < 0.05$).

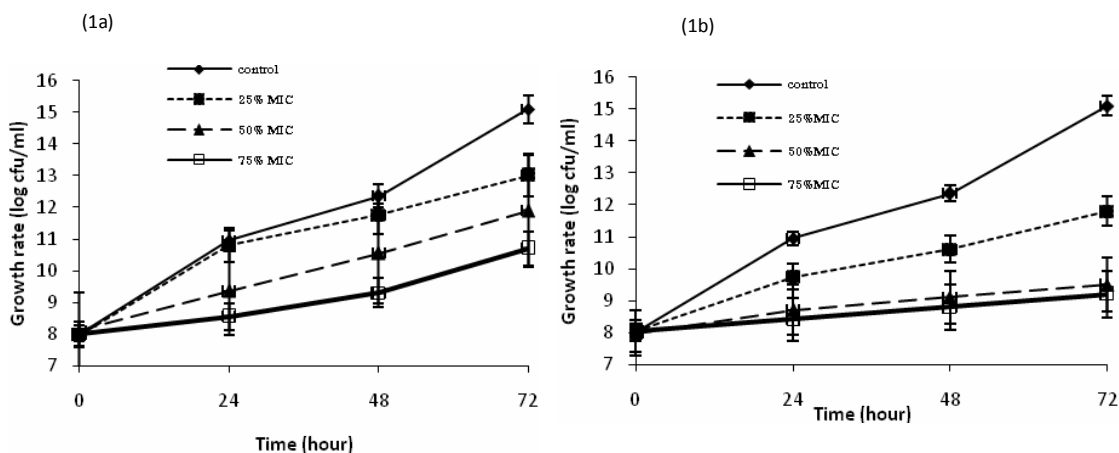


Fig 1 Inhibitory effect of tarragon essential oil (1a) and nanoemulsion (1b) on *E. coli* O157:H7 growth at 35 °C.

با ۷۵ درصد MIC اسانس سطح رونویسی *stx2A* و *stx1A* به ترتیب، ۰/۲۴ و ۰/۱۹ برابر پس از ۲۴ ساعت و ۱/۹۱ و ۰/۲۰ برابر بعد از ۷۲ ساعت در مقایسه با شاهد (باکتری تیمار نشده) کاهش یافت ($p < 0.05$). مواجهه باکتری با ۷۵ درصد MIC نانوامولسیون منجر به کاهش میزان نسخه برداری از *stx1A* و *stx2A* به ترتیب ۰/۴۰ و ۰/۳۸ برابر بعد از ۲۴ ساعت و ۳/۷۵ و ۴/۱۰ برابر بعد از ۷۲ ساعت در مقایسه با شاهد شد ($p < 0.05$).

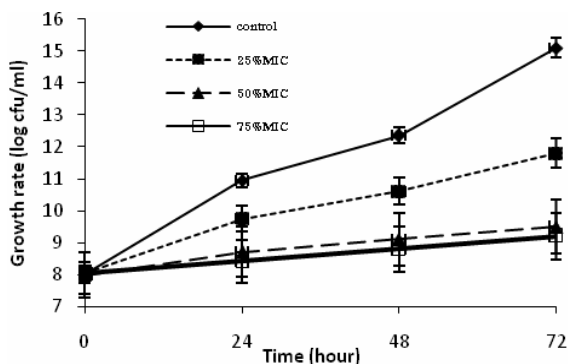
۳-۳- نتایج تعیین MIC و MBC برای اسانس و نانوامولسیون

نتایج تعیین MIC اسانس خالص و نانوامولسیون اسانس ترخون برای اشرشیاکلی، به ترتیب، برابر 0.58 ± 0.07 و 0.33 ± 0.03 میلی گرم در میلی لیتر و MBC (حداقل غلظت باکتری کشی) میلی گرم در میلی لیتر 0.20 ± 0.05 و 0.15 ± 0.08 میلی گرم در میلی لیتر به دست آمد. میزان MIC و MBC نانوامولسیون به طور تقریبی ۱/۵ برابر کمتر از اسانس بود ($p < 0.05$).

۳-۴- تاثیر اسانس و نانوامولسیون بر نرخ رشد

نتایج مربوط به بررسی تاثیر اسانس و نانوامولسیون بر میزان رشد باکتری اشرشیاکلی طی دوره نگهداری ۷۲ ساعته در ۳۵-۳۷ درجه سانتیگراد در شکل ۱ آورده شده است. در کل دوره گرماخانه گذاری جمعیت سلولی نمونه های تیمار شده با اسانس

(1b)



۳-۵- تاثیر اسانس و نانوامولسیون بر میزان بیان ژن های شیگاتوکسین

داده های حاصل از بررسی منحنی ذوب نشان داد که هیچ گونه پرایمر دایمر یا آلووده کننده در واکنش ها وجود نداشته است. دمای ذوب *GAPDH* و *stx2A* *stx1A* به ترتیب $81/2$ و $79/5$ و $83/5$ درجه سانتیگراد به دست آمد. مطابق نتایج با افزایش غلظت اسانس و نانوامولسیون رونویسی ژن های *stx1A* و *stx2A* در اشرشیاکلی کاهش یافت (شکل ۲). طی تیمار باکتری

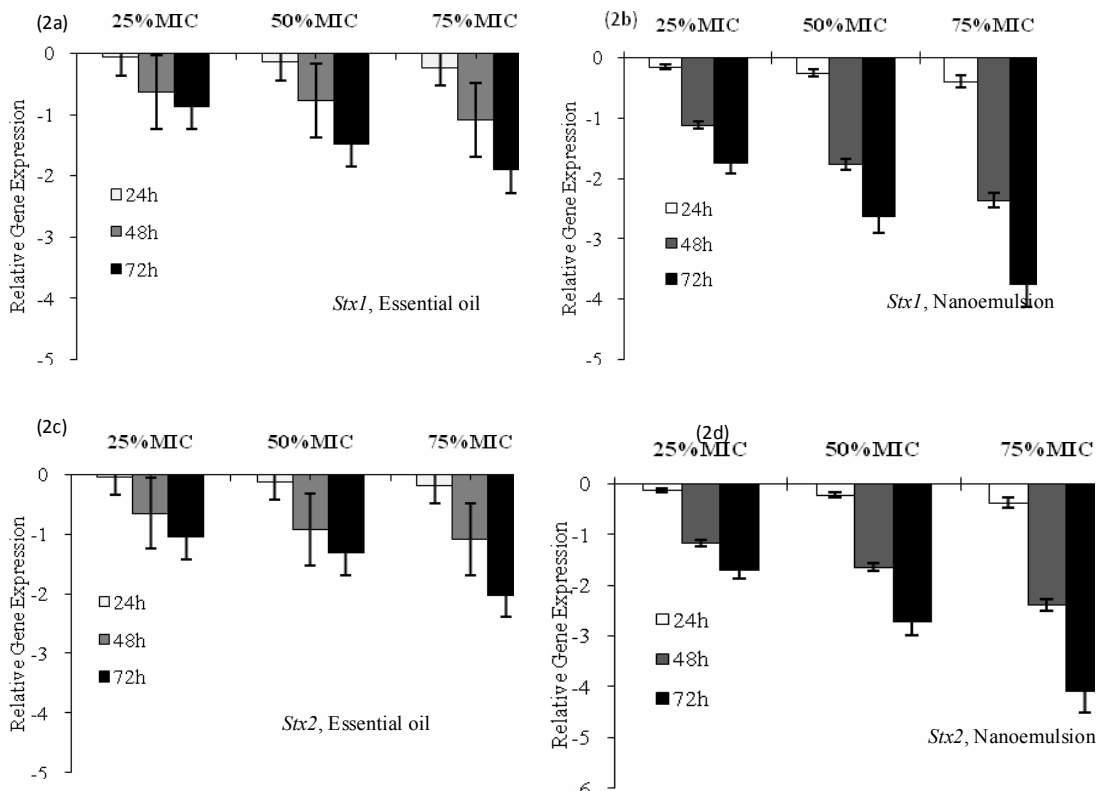


Fig 2 Effect of tarragon essential oil and nanoemulsion on relative expression of genes *stx1A* and *stx2A* in *E. coli* O157:H7. The housekeeping gene *GAPDH* was used to normalize the expression level of *stx1A* and *stx2A*

(۲۰۱۹)، استراغول بیشترین ترکیب تشکیل دهنده اسانس‌ترخونرا با مقدار ۸۱/۸٪ شامل می‌شد [۱۸]. همچنین، نتایج حاضر مشابه داده‌های گزارش شده توسط Norouzi و همکاران (۲۰۱۸) و Fraternale و همکاران (۲۰۱۵) می‌باشد که اجزای اصلی فرار به دست آمده از قسمت‌های هوایی اسانس ترخون عبارت بودند از استراغول، لیمونن، بتا-اوسمین و بتا-پین [۱۹،۲۰]. Karimi و همکاران (۲۰۱۵) نیز ترکیبات استراغول، ترپنولن، لیمونن، بتا-اوسمین، آلفا-پین و اوژنول می‌باشد [۲۰]. ترکیبات اسانس این گونه ترخون شناسایی نمودند [۲۰]. ترکیبات شرافاتی چلهشتوری (Sharafati Cheleshtori) و همکاران (۲۰۱۳) در اسانس ترخون شناسایی و ترکیبات اصلی آن را استراغول، ترانس اوسمین، بتا اوسمین و لیمونن گزارش نمودند که مشابه نتایج تحقیق حاضر، ترکیب اصلی شامل استراغول بوده است [۱۷]. ترکیبات تشکیل دهنده اسانس‌های یک گونه گیاهی مشخص بر

۴- بحث

گزارش‌های متعددی مبنی بر پتانسیل اسانس‌ها و عصاره‌های گیاهی و ترکیبات آنها در مهار رشد و فعالیت میکروبیو کاربرد به عنوان نگهدارنده مواد غذایی منتشر شده‌اند [۱۶، ۱۵، ۶]. همچنین، مطالعاتیدر رابطه با ویژگی‌های ضد باکتریایی‌گیاه ترخون انجام و اظهار شده که فعالیت قابل ملاحظه آن در مهار باکتری‌های پاتوژن و عامل فساد مواد غذایی مربوط به طیف گسترده ترکیبات تشکیل دهنده آن مانند استراغول، ترپنولن، لیمونن، بتا-اوسمین، آلفا-پین، بتا-پین، او۸ سینثول و اوژنول می‌باشد [۴، ۱۷، ۵، ۴]. در مطالعه حاضر، نتایج آنالیز ترکیبات تشکیل دهنده اسانس ترخون نشان داد که استراغول، پارا-سیمن، گاما-ترپین، آلفا-پینو ۱ او۸ سینثول بیشترین درصد ترکیبات اسانس را تشکیل می‌دهند. همانطور که مشاهده می‌شود، اجزای اصلی اسانس ترخون در این مطالعه از ترپن‌ها و ترپنولیدها و سایر عناصر تشکیل دهنده معطر Azizkhani و آلیفاتیک تشکیل شده است. در مطالعه Feizi و

در این تحقیق، MIC و MBC انسنس بالاتر از نانومولسیون بود و چنانچه در مطالعه Donsi و همکاران (۲۰۱۶) ذکر شده طی ریزپوشانی برخی از انسنس‌ها به منظور بهبود فعالیت ضدمیکروبی آنها، مقدار MIC ترکیبات ضدمیکروبی ریزپوشانی شده به عنوان نانو امولسیون پایین‌تر یا مساوی با ترکیبات خالص به دست آمد، این نتایج نشان دهنده تسهیل انتقال انسنس از طریق دیواره سلولی پاتوژن‌های هدف به درون سلول می‌باشد [۲۷]. نتایج پژوهش حاضر نشان می‌دهد که انسنس و نانومولسیون سرعت رشد و همچنین تولید شیگاتوکسینرا در اشرشیاکلی طی روندی وابسته به دوز کاهش داده‌اند و نانومولسیون به میزان قابل ملاحظه‌ای اثر مهاری بیشتری داشته است. در مطالعات مختلف میکرومولسیون‌ها و نانومولسیون‌های تهیه شده از انسنس‌های گیاهی مانند دارچین و آویشن باغی [۲۸]، میخک [۲۹، ۳۰]، اوکالپیتوس [۳۰] و ریحان [۳۱] فعالیت مهارکنندگی قوی‌تری در برابر رشد باکتری‌های بیماری‌زای روده‌ای (اشرشیاکلی)، گونه‌های سالمونلا و شیگلا دیسانتری) و سایر پاتوژن‌ها در مقایسه با انسنس خالص نشان داده‌اند. با توجه به نتایج این محققان، تبدیل انسنس به نانومولسیون موجب تسهیل دسترسی انسنس به سلول‌های باکتریایی و افزایش توانایی آن در ایجاد اختلال در یکپارچگی دیواره سلولی می‌گردد.

مطابق داده‌های این مطالعه، غلظت‌های تحت بازدارنده نانومولسیون انسنس ترخون به طور قابل ملاحظه‌ای بیان ژن‌های *stx2A* و *stx1A* را کاهش داده و حتی سطوح پایین غلظت‌های تحت بازدارنده آن اثر مهاری بیشتری نسبت به سطوح بالای غلظت‌های تحت بازدارنده انسنس‌ها صداشته است. مطالعات بسیار اندکی در خصوص تاثیر نانومولسیون‌ها بر بیان ژن‌های ویرولانس و بیماری‌زایی باکتری‌های پاتوژن منتشر شده است. در این رابطه، یافته‌های مشابهی توسط Prateeksha و همکاران (۲۰۱۹) مبنی بر کاهش رونیسی ژن‌های مربوط به توکسین شبه شیگاتوکسین، بیماری‌زایی و اتصال و تشکیل بیوفیلم در اشرشیاکلی توسط نانومولسیون انسنس گیاه *Gaultheriafragrantissima Wall* منتشر شده است [۳۲]. ترکیب اصلی انسنس ترخون در مطالعه حاضر استراگول است که

اساس شرایط آب و هوایی منطقه کشت، جنس خاک و زمان برداشت تفاوت است.

خصوصیات فیزیکوشیمیایی یک نانومولسیون مانند اندازه ذرات، شکل و همچنین بار سطحی ذره عوامل تعیین کننده‌ای در میزان و سرعت رهایش ماده موثره و میزان جذب نانوذرات توسط سلول به شمار می‌روند. جذب نانوذرات توسط سلول‌های میکروبی فرآیندی دو مرحله‌ای است که شامل مرحله اتصال به غشای سلولی و سپس ورود به داخل سلول می‌باشد [۲۱]. بار سطحی ذرات امولسیون تأثیر قابل توجهی در اتصال نانوذرات به غشای سلولی دارد [۲۲]. در مطالعه حاضر، اندازه متوسط قطرات نانومولسیون انسنس ترخون معادل ۵۰ نانومتر به دست آمد که مشابه نتایج به دست آمده توسط Shahavi و همکاران (۲۰۱۵) می‌باشد، در مطالعه ایشان قطر ذرات نانومولسیون انسنس میخک معادل ۵۰ نانومتر و با قدرت نفوذ سلولی قابل ملاحظه به دست آمد [۲۳]. پتانسیل زتا نانومولسیون ترخون در این پژوهش معادل ۳۰ میلیولت بود. پتانسیل زتا معیاری از بزرگی بار الکتریکی یا دافعه و جاذبه الکترواستاتیک بین ذرات است که عامل اصلی پدیده‌هایی مانند پراکندگی، لخته شدن یا انعقاد و تجمع می‌باشد، از این رو یکی از پارامترهای اصلی برای ارزیابی پایداری دیسپرسیون‌ها، امولسیون‌ها و سوسپانسیون‌هاست [۲۴]. در یک محیط مایع، پتانسیل زتا نشان دهنده تفاوت بین پتانسیل فاز پراکنده و فاز ثابتی است که در تماس با فاز پراکنده می‌باشد [۲۵]. نتایج یک مطالعه توسط Patil و همکاران (۲۰۰۷) نشان داد که هرچه پتانسیل زتا منفی نانوذرات یک امولسیون بالاتر (منفی‌تر) باشد، جذب سلولی نانو ذرات در مقایسه با سایر نانوذرات با بار منفی کمتر یا بار مثبت بیشتر خواهد بود [۲۶]. به نظر می‌رسد که پتانسیل زتا ذرات نانومولسیون انسنس ترخون در این پژوهش (۳۰-۳۰ میلیولت) منجر به نفوذ مقدار قابل ملاحظه انسنس به داخل سلول‌های میکروبی و اعمال اثرات ضدمیکروبی گردیده است. همچنین Kumar و همکاران (۲۰۱۷) اظهار داشتند که پتانسیل زتا بالاتر از -۳۰ یا +۳۰ میلیولت موجب افزایش پایداری امولسیون و نیز مونو دیسپرسیون ذرات فاز پراکنده در فاز ثابت می‌گردد، به عبارت دیگر بزرگی پتانسیل زتا نشانگر پایداری فیزیکی سیستم کلوئیدی می‌باشد [۲۶].

تحقیقات بیشتر در خصوص بررسی تاثیر اجزای اصلی انسانس و مکانیسم آن در کاهش رونویسی ژن‌های حدت می‌باشد.

۶- سپاسگزاری

این مقاله حاصل پژوهه تحقیقاتی با استفاده از اعتبارات ویژه پژوهشی (شماره ۸/۸۹۵/پ) دانشگاه تخصصی فناوری‌های نوین آمل بوده است.

۷- منابع

- [1] Brusa, V., Lirón J.P., Aliverti, F., Aliverti, V., Brocardo, S., Leotta, G.A. 2011. Desarrollo y evaluación de dos PCR-RT para la detección de genes stx en carne picada, in: First International Congress of Zoonoses and Emerging Diseases and VII Zoonoses Argentine Congress, Abstract book (Buenos Aires: Asociación Argentina de Zoonosis).
- [2] Simjee, S. 2007. Foodborne diseases. Humana Press. Totowa, New Jersey, USA.
- [3] Karmali, M. A., Gannon, V., Sargeant, J. M. 2010. Verocytotoxinproducing *Escherichia coli* (VTEC). Veterinary Microbiology, 140, 360–370.
<https://doi.org/10.1016/j.vetmic.2009.04.011>
- [4] Burt, S. 2004. Essential oils: their antibacterial properties and potential applications in foods—a review. International Journal of Food Microbiology, 94, 223–253.<https://doi.org/10.1016/j.ijfoodmicro.2004.03.022>
- [5] Bakkali, F., Averbeck, S., Averbeck, D., Idaomar, M. 2008. Biological effects of essential oils – A review. Food and Chemical Toxicology, 46(2), 446–475.<https://doi.org/10.1016/j.fct.2007.09.106>
- [6] Norouzi, F., Hojjati, M., Jooyandeh, H., Barzgar, H. 2018. Study of the possibility of application of tarragon essential oil in mayonnaise as a natural additive. Journal of Food Research, 28(3), 85–99.
- [7] Mousavi Nadoshan, S., Owlia, P., Moein Najafabadi, L., Rasooli, I., Saderi, H., Salari, M. 2010. Effects of Sub-inhibitory Concentrations of Essential Oils of *Mentha spicata* and *Cumminum cuminum* on Virulence

یک متابولیت ثانویه گیاهی با ساختارفنیل پروپن، شامل یک حلقه بنزنی دارای یک گروه متوكسیل و یک گروه آئیل، است لذا ترکیبی هیدروفوب و ایزومر آنتول می‌باشد. این ویژگی ساختاری موجب کاهش فعالیت مهاری استراگول بر باکتری‌های گرم منفی‌می‌گردد زیرا غشایخارجی غنی از لیپوپلی ساکارید آنها موجب ایجاد وضعیت آبدوستی در سطح غشاء و ممانعت از نفوذ ترکیبات آبگریزی مانند استراگول می‌شود^[۳۳]. قرار گرفتن ترکیبات آبگریز مانند استراگول در ساختار نانومولسیون موجب تسهیل نفوذ آنها به غشاهای آبدوست می‌گردد. در مطالعه Auezova و همکاران (۲۰۲۰) فعالیت ضدباکتریایی آنتول، استراگول، اوژنول و ایزواوژنول در حالت خالص و ریزپوشانی شده بر علیه اشرشیاکلی و استافیلوکوکوس اپیدرمیس مورد بررسی قرار گرفت. نتایج ایشان نشان داد که آنتول و استراگول فعالیت ضدمیکروبی بالاتری داشته و اشرشیاکلی حساسیت بیشتری نسبت به استافیلوکوکوس اپیدرمیس در برابر این ترکیبات نشان داد^[۳۴]. به طور کلی، از یافته‌های این پژوهش و نتایج سایر محققان استنباط می‌شود که تبدیل انسانس به نانومولسیون به علت کاهش اندازه ذرات و نیز افزایش حلalیت ترکیبات موجب نفوذ بیشتر انسانس به دیواره سلولی و سلول باکتری و در نتیجه بهبود فعالیت ضدمیکروبی می‌گردد.

۵- نتیجه گیری

چنانکه در نتایج مشاهده شد نانومولسیون انسانس ترخون فعالیت مهارکنندگی بیشتری در برابر رشد و نیز میزان رونویسی ژن‌های عامل تولید شیگاتوکسین در اشرشیاکلی O157:H7 در مقایسه با انسانس ترخون داشته است. به نظر می‌رسد پتانسیل قابل ملاحظه نانومولسیون در کاهش فعالیت باکتری به علت توانایی قطرات نانومولسیون در نفوذ مؤثر به سلول باکتری، واکنش با اجزای سلولی و ایجاد اختلال در مکانیسم‌های درون سلولیو کاهش بیان ژن‌های تنظیم کننده حدت است. در این زمینه، نیاز به

- [16] Oussalah, M., Caillet, S., Saucier, L., Lacroix, M. 2007. Inhibitory effects of selected plant essential oils on the growth of four pathogenic bacteria: *E. coli* O157:H7, *Salmonella typhimurium*, *Staphylococcus aureus* and *Listeria monocytogenes*. Food Control, 18, 414-420. <https://doi:10.1016/j.foodcont.2005.11.009>
- [17] Sharafati Chaleshtori, R., Rokni, N., Razavilar, V., Kopaei, M.R. 2013. The evaluation of the antibacterial and antioxidant activity of Tarragon (*Artemisia dracunculus* L.) essential oil and its chemical composition. Jundishapur Journal of Microbiology, 6(9), 7877.
- [18] Feizi, P., Azizkhani, M. 2019. Increasing oxidative stability of precooked trout fillet using herbal essential oils. Bulgarian Journal of Veterinary Medicine, <https://doi:10.15547/bjvm.2212>.
- [19] Fraternale, D., Flamini, G., Ricci, D. 2015. Essential oil composition and antigermination activity of *Artemisia dracunculus* (Tarragon). Natural product communications, 10(8), 1469-1472.
- [20] Karimi, A., Hadian, J., Farzaneh, M., Khadivi-Khub, A. 2015. Phenotypic diversity and volatile composition of Iranian *Artemisia dracunculus*. Industrial Crops and Products, 65, 315-323. <Https://doi:10.1016/j.indcrop.2014.12.003>
- [21] Ciani, L., Ristori, S., Bonechi, C., Rossi, C., Martini, G. 2007. Effect of the preparation procedure on the structural properties of oligonucleotide/cationic liposome complexes (lipoplexes) studied by electron spin resonance and Zeta potential. Biophysical chemistry, 131(1-3), 80-87. <https://doi:10.1016/j.bpc.2007.09.011>
- [22] Patil, S., Sandberg, A., Heckert, E., Self, W., Seal, S. 2007. Protein adsorption and cellular uptake of cerium oxide nanoparticles as a function of zeta potential. Biomaterials, 28(31), 4600-4607. <https://doi:10.1016/j.biomaterials.2007.07.029>
- [23] Shahavi, M.H., Hosseini, M., Jahanshahi, M., Meyer, R.L., Darzi, G.N. 2015. Evaluation of critical parameters for preparation of stable clove oil nanoemulsion. Arabian Journal of Chemistry, 12(8): 3225-3230. <https://doi:10.1016/j.arabjc.2015.08.024>
- Factors of *Pseudomonas aeruginosa*. Journal of Medicinal Plants, 9(6), 124-130.
- [8] Gutiérrez, J., González, C., Maestro, A., Sole, I., Pey, C., Nolla, J. 2008. Nano-emulsions: New applications and optimization of their preparation. Current Opinion in Colloid and Interface Science, 13, 245-251. <https://doi.org/10.1016/j.jcis.2012.02.063>
- [9] Adams, M.R. 2007. Identification of essential oil components by gas chromatography/mass spectrometry. Carol Stream, IL: Allured publishing corporation.
- [10] Shahavi, M.H., Hosseini, M., Jahanshahi, M., Meyer, R.L., Darzi, G.N. 2016. Clove oil nanoemulsion as an effective antibacterial agent: Taguchi optimization method. Desalination and Water Treatment, 57(39), 18379-18390. <https://doi.org/10.1080/19443994.2015.1092893>
- [11] Azizkhani, M., Misaghi, A., Basti, A.A., Gandomi, H., Hosseini, H. 2013. Effects of *Zatariamultiflora* Boiss. essential oil on growth and gene expression of enterotoxins A, C and E in *Staphylococcusaureus* ATCC 29213. International journal of food microbiology, 163(2-3), 159-165. <https://doi:10.1016/j.ijfoodmicro.2013.02.020>.
- [12] Mahmoudzadeh, M., Hosseini, H., Nasrollahzadeh, J., et al. 2016. Antibacterial activity of *Carumcopticum* essential oil against *Escherichia coli* O157: H7 in meat: Stx genes expression. Current Microbiology, 73(2), 265-272. <http://doi:10.1007/s00284-016-1048-2>
- [13] Carey, C.M., Kostrzynska, M., Thompson, S. 2009. *Escherichia coli* O157: H7 stress and virulence gene expression on Romaine lettuce using comparative real-time PCR. Journal of Microbiological Methods, 77(2), 235-242. <https://doi:10.1016/j.mimet.2009.02.010>
- [14] Applied Biosystems, User bulletin no. 2. 1997. Relative quantification of gene expression.
- [15] Aumeeruddy-Elalfi, Z., Gurib-Fakim, A., Fawzi Mahomoodally, M. 2016. Chemical composition, antimicrobial and antibiotic potentiating activity of essential oils from 10 tropical medicinal plants from Mauritius. Journal of Herbal Medicine, 6(2), 88-95. <http://dx.doi.org/10.1016/j.hermed.2016.02.002>

- nanoparticles in alcohol-free microemulsion. *Journal of Oleo Science*, 61, 641–648. <https://doi:10.5650/jos.61.641>
- [30] Sugumar, S., Ghosh, V., Nirmala, M.J., Mukherjee, A., Chandrasekaran, N. 2014. Ultrasonic emulsification of eucalyptus oil nanoemulsion: antibacterial activity against *Staphylococcus aureus* and wound healing activity in Wistar rats. *Ultrason Sonochem*, 21, 1044–1049. <https://doi:10.1016/j.ultsonch.2013.10.021>.
- [31] Ghosh, V., Mukherjee, A., Chandrasekaran, N. 2013. Ultrasonic emulsification of food-grade nanoemulsion formulation and evaluation of its bactericidal activity. *Ultrason Sonochem*, 20, 338–344. <https://doi:10.1016/j.ultsonch.2012.08.010>
- [32] Prateeksha, Barik SK, Singh BN. 2019. Nanoemulsion-loaded hydrogel coatings for inhibition of bacterial virulence and biofilm formation on solid surfaces. *Scientific Reports*, 9(1), 6520. <https://doi:10.1038/s41598-019-43016-w>
- [33] Dorman, H.J.D., Deans, S.G. 2000. Antimicrobial agents from plants: antibacterial activity of plant volatile oils. *Journal of Applied Microbiology*, 88, 308–316. <https://doi:10.1046/j.1365-2672.2000.00969.x>
- [34] Auezova, L., Najjar, A., Kfouri, M., Fourmentin, S., Greige-Gerges, H. 2020. Antibacterial activity of free or encapsulated selected phenylpropanoids against *Escherichia coli* and *Staphylococcus epidermidis*. *Applied Microbiology*, 128(3), 710–720. <https://doi:10.1111/jam.14516>.
- [24] Dickinson, E. 2009. Hydrocolloids as emulsifiers and emulsion stabilizers. *Food Hydrocolloids*, 23(6), 1473–1482. <https://doi:10.1016/j.foodhyd.2008.08.005>
- [25] Kutscher, H.L., Chao, P., Deshmukh, M., Sundara Rajan, S., Singh, Y., Hu, P., Joseph, L.B., Stein, S., Laskin, D.L., Sinko, P.J. 2010. Enhanced passive pulmonary targeting and retention of PEGylated rigid microparticles in rats. *International Journal of Pharmaceutics*, 402(1-2), 64–71. <https://doi:10.1016/j.ijpharm.2010.09.020>
- [26] Kumar, R., Kaur, K., Uppal, S., Mehta, S.K. 2017. Ultrasound processed nanoemulsion: A comparative approach between resveratrol and resveratrol cyclodextrin inclusion complex to study its binding interactions, antioxidant activity and UV light stability. *Ultrasonics Sonochemistry*, 37, 478–489. <https://doi:10.1016/j.ultsonch.2017.02.004>
- [27] Donsi, F., Ferrari, G. 2016. Essential oil nanoemulsions as antimicrobial agents in food. *Journal of Biotechnology*, 233, 106–120. <https://doi:10.1016/j.jbiotec.2016.07.005>
- [28] Ma, Q., Davidson, P.M., Zhong, Q. (2016). Antimicrobial properties of microemulsions formulated with essential oils, soybean oil, and Tween 80. *International Journal of Food Microbiology*, 226, 20–25. <https://doi:10.1016/j.ijfoodmicro.2016.03.011>
- [29] Hamed, S.F., Sadek, Z., Edris, A. 2012. Antioxidant and antimicrobial activities of clove bud essential oil and eugenol

Evaluating the effect of Nanoemulsion of *Artemisia dracunculus* Essential Oil on Expression of virulence genes in enterohemorrhagic *Escherichia coli*

Azizkhani, M. ^{1*}, Tooryan, F. ¹, Shohreh, P. ², Partovi, R. ¹, Shahavi, M. ³

1. Assistant Professor, Department of Food Hygiene, Faculty of Veterinary Medicine, Amol University of Special Modern Technologies, Amol,Iran
2. Ph.D, Assistant Professor, Department of Clinical Sciences, Faculty of Veterinary Medicine, Amol University of Special Modern Technologies, Amol,Iran
3. Ph.D, Assistant Professor, Faculty of Engineering Modern Technologies, Amol University of Special Modern Technologies, Amol, Iran

(Received: 2020/04/29 Accepted: 2020/07/18)

Escherichia coli O157: H7 is one of the most important and common foodborne pathogens in the world which is being resistant against some current synthetic antimicrobials. The aim of this study was to determine the minimum inhibitory concentration (MIC) and the minimum bacterial concentration (MBC) of *Artemisia dracunculus*(tarragon) essential oil and its nanoemulsion for enterohemorrhagic strain of *Escherichia coli* and then the effect of sub-MIC concentrations on growth rate and gene expression of virulence genes (*stx1A* and *stx2A*). Nanoemulsion of tarragon essential oil was prepared by the ultrasound method and the dropletsize and zeta potential were determined. MIC and MBC of essential oil and nanoemulsion were determined using the broth microdilution method. The growth rate and expression of *stx1A* and *stx2A* genes in *Escherichia coli* were assessed after treatment with different concentrations of sub-MICs of essential oil and nanoemulsion. Estragol was identified as the main component in the essential oil. The average diameter of nanoemulsion particle was 50 nm and the zeta potential was -30 mV. The MIC values of essential oil and nanoemulsion were 0.58 ± 0.11 and 0.33 ± 0.07 mg/ml, respectively, and their MBC were 0.65 ± 0.20 and 0.38 ± 0.15 mg/ml, respectively. Nanoamulsion had a greater inhibitory effect against bacterial growth than free essential oil. At the end of the 72-hour period, nanoemulsion treatment at 75% MIC resulted in a reduction in *stx1A* and *stx2A* transcription of 3.75 and 4.10 folds, respectively, while at 75% MIC of essential oil *stx1A* and *stx2A* transcripts were reduced 1.91 and 2.02 folds compared with control, respectively. Higher activity of nanoemulsion of tarragon essential oil to reduce the growth and shigatoxin production of *E. coli* compared to pure EO, reveals its potential to be used as a natural food preservative and a solution to the global problem of emergence of antibiotic-resistant microbes.

Keywords: Enterohemorrhagic *E.coli*, Essential oil, Nanoemulsion, Shigatoxin, Tarragon

* Corresponding Author E-Mail Address: m.azizkhani@ausmt.ac.ir